

# Математическая модель задачи безкавитационного течения идеальной жидкости при электрохимической обработке металлов

Н.М. Миназетдинов  
Факультет информационных систем и компьютерных технологий  
Российский новый университет  
Москва, Россия  
e-mail: [nminazetdinov@mail.ru](mailto:nminazetdinov@mail.ru)

## Аннотация<sup>1</sup>

При проектировании катода-инструмента для электрохимической обработки металлов, с целью обеспечения плавного, безотрывного течения электролита в межэлектродном промежутке можно применить операцию сглаживания острых кромок катода, при обтекании которых, как правило, происходит отрыв потока от поверхности электрода-инструмента.

В работе на основе модели идеального процесса электрохимического формообразования и теории струй идеальной несжимаемой жидкости построена модель нелинейной двумерной задачи электрохимической обработки металлов с учётом безотрывного течения электролита в межэлектродном промежутке.

Получено решение задачи, связанной с определением формы спрофилированного участка границы электрода-инструмента (катода) и установившейся границы обрабатываемой детали (анода).

## 1. Введение

Одной из актуальных задач теории электрохимической обработки металлов [1] является изучение особенностей гидродинамики потока электролита в межэлектродном промежутке и учёт этих особенностей при проектировании геометрии электрода - инструмента [2].

Высокая скорость течения электролита, его начальная загазованность и выделение газообразных продуктов электрохимических реакций способствуют возникновению кавитации [3], которая оказывает заметное влияние на точность электрохимического

Труды Шестой всероссийской научной конференции "Информационные технологии интеллектуальной поддержки принятия решений", 28-31 мая, Уфа-Ставрополь, Россия, 2018

формообразования. Каверны частично экранируют рабочую поверхность катода, что приводит к образованию на обрабатываемой поверхности (аноде) различных макро дефектов [1, 4, 5].

В работе для описания течения электролита в межэлектродном промежутке используется модель идеальной несжимаемой жидкости [2, 6].

## 2. Схема межэлектродного промежутка

Схема сечения межэлектродного промежутка изображена на рис. 1. Введём систему декартовых координат  $(x_1, y_1)$ , связанную с катодом, который движется в направлении, противоположном оси ординат с постоянной скоростью  $V_c$ . Рабочая поверхность  $AED$  катода состоит из прямолинейного участка  $AE$ , дуги  $ED$ , получаемой в результате сглаживания кромки катода. На границу  $DC$  катода, перпендикулярную оси абсцисс, нанесено диэлектрическое покрытие. Изоляция нерабочей части катода позволяет уменьшить наклон боковой стенки обрабатываемой поверхности. Линия  $ABC$  соответствует установившейся границе анода. Начало координат выбрано в точке  $E$ . Точки  $A$  и  $C$  являются бесконечно удалёнными. Поток направлен от точки  $A$  к точке  $C$ .

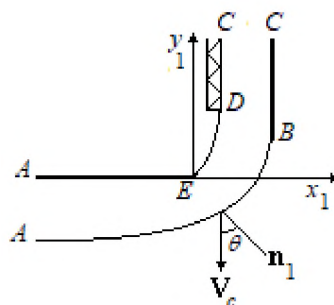


Рис. 1. Геометрия межэлектродного промежутка

В процессе заглубления катода-инструмента в тело заготовки, на границе заготовки формируется необрабатываемая зона, которой в модели соответствует прямолинейный участок  $BC$ .

### 3. Модель процесса электрохимической обработки

Электрическое поле с потенциалом  $u$  в межэлектродном промежутке описывается уравнением Лапласа [1]. Функция  $u(x_1, y_1)$  - мнимая часть комплексного потенциала электрического поля  $W_1(z_1) = v(x_1, y_1) + iu(x_1, y_1)$ ,  $z_1 = x_1 + iy_1$  ( $v(x_1, y_1)$  – функция тока). На поверхности  $ABC$  анода и на рабочих участках  $AE$  и  $ED$  поверхности катода потенциал  $u$  принимает постоянные значения  $u_a$  и  $u_c$  соответственно [1]. На электро-изолированной границе  $DC$  выполняется условие

$$\frac{\partial u}{\partial n_1} = 0. \quad (1)$$

Для электролитов, являющихся растворами нитрата и хлората натрия, зависимость доли заряда  $\eta$ , затраченной на растворение металла, от анодной плотности тока  $j_a$  при обработке сталей можно представить в виде [7]

$$\eta(j_a) = \begin{cases} 0, & j_a \leq j_{cr}, \\ a_0 + a_1/j_a, & j_a > j_{cr}. \end{cases} \quad (2)$$

где  $a_0 > 0, a_1 < 0, j_{cr}$  – постоянные.

Согласно условию (2), искомую установившуюся анодную границу разделим на два участка. На участке  $AB$  происходит растворение металла, и распределение нормальной производной потенциала на этом участке анодной границы удовлетворяет условию стационарности формообразования [7]

$$\left| \frac{dW_1}{dz_1} \right| = \frac{\partial u}{\partial n_1} = \frac{1}{\kappa a_0} \left( -a_1 + \frac{\rho V_c}{\varepsilon} \cos \theta \right). \quad (3)$$

где  $\kappa$  – удельная электропроводность среды;  $\varepsilon$  – электрохимический эквивалент металла;  $\rho$  – плотность материала анода;  $\theta$  – угол между вектором  $V_c$  скорости подачи катода и вектором  $n_1$  нормали к анодной границе (рис. 1). На участке  $BC$  анодная плотность тока изменяется от значения  $j_{cr}$  в точке  $B$  до нуля в точке  $C$ , а выход по току  $\eta$  равен нулю.

Введём в рассмотрение характерный размер  $H = \kappa(u_a - u_c)/j_0$ ,  $j_0 = \rho V_c/\varepsilon$ . Затем, с помощью преобразования [8]

$$W(z) = \frac{W_1(z) - iu_c}{u_a - u_c}, \quad z = \frac{z_1}{H} = x + iy,$$

введём безразмерный комплексный потенциал  $W(z) = \varphi(x, y) + i\psi(x, y)$ .

Функция  $\psi$  удовлетворяет уравнению Лапласа [10] в межэлектродном промежутке с условиями на границах электродов  $ABC$  и  $AED$

$$\psi_a = 1, \quad \psi_c = 0. \quad (4)$$

На границе изоляции  $DC$ , выполняется условие

$$\frac{\partial \psi}{\partial n} = 0. \quad (5)$$

Из соотношения (3) следует, что на неизвестном участке  $AB$  анодной границы выполняется условие

$$\left| \frac{dW}{dz} \right| = \frac{\partial \psi}{\partial n} = a(b + \cos \theta), \quad a = \frac{1}{a_0}, \quad b = -\frac{a_1}{j_0}. \quad (6)$$

Согласно схеме электрохимической обработки, на бесконечности в сечении  $AA$  выполняется условие  $\theta = 0$ , и безразмерная ширина  $h$  межэлектродного зазора в указанном сечении в соответствии с формулами (4) и (6), равна

$$h = (a(b+1))^{-1}. \quad (7)$$

### 4. Постановка и численно-аналитическое решение задачи.

В односвязной области  $z = x + iy$  рассмотрим установившееся течение идеальной несжимаемой жидкости, ограниченное границами катода  $AEDC$  и анода  $ABC$ . Для обеспечения безотрывного течения в межэлектродном промежутке в модели задачи считается, что величина скорости на границе  $ED$  постоянна и равна  $V_0$  [3]. Скорость течения на входе в межэлектродный канал в окрестности бесконечно удалённой точки  $A$  равна  $V_1$ . Требуется определить формы границ  $AB$  и  $ED$ .

Для решения задачи введём вспомогательную параметрическую комплексную переменную  $t = \xi + i\delta$ , изменяющуюся в области  $G_t$  ( $0 < \xi < \pi/2, 0 < \delta < \pi|\tau|/4$ ) ( $\tau = i|\tau|$ ) (рис. 2).

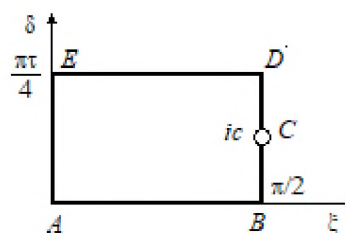


Рис. 2. Плоскость параметрической переменной  $t$

Решение задачи сводится к определению аналитических функций [3]: комплексного потенциала течения  $W_g(t) = \varphi_g + i\psi_g$  ( $\varphi_g$  - потенциал скорости,  $\psi_g$  - функция тока) и функции Жуковского

$$\chi(t) = \ln \frac{V_0 dz}{dW_g} = r + i\theta_{g^*}, \quad r = \ln \frac{V_0}{V}. \quad (8)$$

где  $V$  – модуль скорости,  $\theta_g$  – угол скорости с осью абсцисс  $x$ . Геометрические характеристики течения можно найти с помощью параметрической зависимости

$$\frac{dz}{dt} = \frac{\exp(\chi(t))}{V_0} \frac{dW_g}{dt}. \quad (9)$$

Комплексный потенциал  $W_g(t)$  удовлетворяет граничным условиям

$$\psi_g(\xi) = 0, \quad \psi_g(\xi + \pi\tau/4) = Q, \quad \xi \in [0, \pi/2],$$

$$\psi_g(i\delta) = \psi_g(\pi/2 + i\delta) = Q, \quad \delta \in [0, \pi|\tau/4|],$$

где  $Q = V_1 h$  – расход жидкости в потоке. В плоскости изменения комплексного потенциала  $W_g$  области течения соответствует полоса ширины  $Q$  (рис. 3).

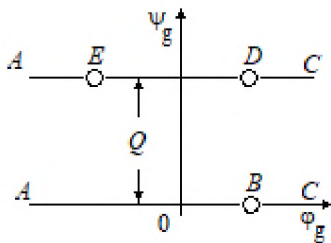


Рис. 3. Плоскость комплексного потенциала  $W_g$

Функция  $dW_g/dt$  на горизонтальных сторонах прямоугольника  $G_t$  принимает действительные значения, а на вертикальных – мнимые; имеет нули первого порядка в точках  $B(t = \pi/2)$ ,  $E(t = \pi\tau/4)$ ,  $D(t = \pi/2 + \pi\tau/4)$  и полюса первого порядка в точках  $A(t = 0)$ ,  $C(t = \pi/2 + ic)$ . Согласно принципу симметрии Шварца [10], функцию  $dW_g/dt$  можно аналитически продолжить через границы области  $G_t$  на всю плоскость. Продолженная таким образом функция будет двоякопериодической с периодами  $\pi$ ,  $\pi\tau$  и известными особенностями в прямоугольнике периодов [9]. Используя метод особых точек Чаплыгина [3, 11], найдём выражение производной комплексного потенциала

$$\frac{dW_g}{dt} = N \frac{\vartheta_2(t)\vartheta_3(t)}{\vartheta_1(t)\vartheta_4(t)} F_1(t), \quad (10)$$

$$F_1(t) = \frac{\vartheta_1(t + \tau_1)\vartheta_1(t - \tau_1)\vartheta_2(t + \tau_1)\vartheta_2(t - \tau_1)}{\vartheta_2(t + ic)\vartheta_2(t - ic)\vartheta_3(t + ic)\vartheta_3(t - ic)}, \quad \tau_1 = \frac{\pi\tau}{4}.$$

где  $\vartheta_i(t)$ ,  $i = 1, 2, 3, 4$  – тета-функции для периодов  $\pi$  и  $\pi\tau$  [9]. В работе используются обозначения  $\vartheta_i = \vartheta_i(0)$ ,  $i = 1, 2, 3, 4$ .

Интегрированием выражения (10) по четверти дуги окружности бесконечно малого радиуса с центром в точке  $A(t = 0)$ , найдём

$$N = Q \frac{2\vartheta_4^2}{\pi F_1(0)}, \quad F_1(0) = -\frac{\vartheta_1^2(\tau_1)\vartheta_2^2(\tau_1)}{\vartheta_2^2(ic)\vartheta_3^2(ic)}.$$

Функция  $\chi(t)$  согласно схеме течения удовлетворяет граничным условиям

$$\text{Im } \chi(i\delta) = 0, \quad \text{Im } \chi(\pi/2 + i\delta) = \pi/2, \quad \delta \in [0, \pi|\tau/4|];$$

$$\text{Re } \chi(\xi + \pi\tau/4) = 0, \quad \xi \in [0, \pi/2].$$

Введём функцию комплексной скорости  $dW_g/dz = V \exp(-i\theta_g)$  [3], и рассмотрим соотношение

$$V = \left| \frac{dW_g}{dz} \right| = \left| \frac{dW_g}{dW} \frac{dW}{dz} \right|. \quad (11)$$

Учитывая, что граница  $AB$  является одновременно линией тока идеальной жидкости и эквипотенциальной линией электрического поля и то, что на этом участке анодной границы выполняется равенство

$$\theta_g(x, y) = \theta(x, y)$$

из условия (6) и формулы (11) получается

$$\left| \frac{dW_g}{dz} \right| = a(b + \cos\theta_g(\xi)) \left| \frac{d\varphi_g}{d\varphi} \right|.$$

Отсюда следует, что на границе  $AB$  граничные значения гармонически сопряжённых функций  $r(\xi)$  и  $\theta_g(\xi)$  связаны соотношением

$$e^{-r} = \frac{a(b + \cos\theta_g)}{V_0} \left| \frac{d\varphi_g}{d\varphi} \right|. \quad (12)$$

Для реализации условия (12), необходимо установить соответствие между функциями  $W(t)$  и  $W_g(t)$ .

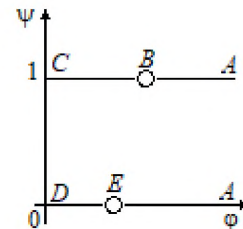


Рис. 4. Плоскость комплексного потенциала  $W$

Согласно условиям (4), (5), комплексный потенциал  $W(t)$  электрического поля удовлетворяет граничным условиям

$$\psi(\xi) = 1, \quad \psi(\xi + \pi\tau/4) = 0, \quad \xi \in [0, \pi/2],$$

$$\psi(\pi/2 + i\delta) = 1, \quad \delta \in [0, c], \quad \psi(i\delta) = 0, \quad \delta \in [0, \pi|\tau/4|],$$

$$\varphi(\pi/2 + i\delta) = 0, \quad \delta \in [c, \pi|\tau|/4]$$

Область изменения комплексного потенциала электрического поля представлена на рис. 4.

Связь между переменной  $t$  и комплексным потенциалом  $W$  определяется методом конформных отображений [10] с помощью вспомогательной переменной  $u$ , изменяющейся в верхней полуплоскости  $G_u$  (рис. 5).

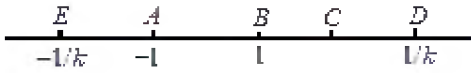


Рис. 5. Вспомогательная область

Отобразим область  $G_t$  на верхнюю полуплоскость  $G_u$  с помощью преобразований [9]

$$t_1 = 2K \left( \frac{2t}{\pi} - \frac{1}{2} \right), \quad K = \frac{\pi}{2} \vartheta_3^2$$

$$u = \operatorname{sn}(t_1, k) = -\frac{1}{\sqrt{k}} \frac{\vartheta_2(2t)}{\vartheta_3(2t)}, \quad k = \left( \frac{\vartheta_2}{\vartheta_3} \right)^2$$

Используя интеграл Кристоффеля – Шварца [10] найдём производную функции, отображающей область  $G_u$  на область изменения комплексного потенциала

$$\frac{dW}{du} = \frac{N_1}{(u+1)\sqrt{(1-uk)(u-\gamma)}}, \quad \gamma = \frac{1}{\sqrt{k}} \frac{\vartheta_2(2ci)}{\vartheta_3(2ci)}$$

Для определения производной  $dW/dt$  выполним следующие преобразования

$$\frac{dW}{dt} = \frac{dW}{du} \frac{du}{dt},$$

$$\frac{du}{dt} = \frac{du}{dt_1} \frac{dt_1}{dt} = \frac{4K}{\pi} \operatorname{cn}(t_1, k) \operatorname{dn}(t_1, k),$$

где

$$\operatorname{cn}(t_1, k) = \frac{\vartheta_4 \vartheta_2(t_1/\vartheta_3^2)}{\vartheta_2 \vartheta_4(t_1/\vartheta_3^2)} = \frac{\vartheta_4 \vartheta_1(2t)}{\vartheta_2 \vartheta_3(2t)},$$

$$\operatorname{dn}(t_1, k) = \frac{\vartheta_4 \vartheta_3(t_1/\vartheta_3^2)}{\vartheta_3 \vartheta_4(t_1/\vartheta_3^2)} = \frac{\vartheta_4 \vartheta_4(2t)}{\vartheta_3 \vartheta_3(2t)}$$

эллиптические функции Якоби [9].

Тогда

$$\frac{du}{dt} = \frac{4K}{\pi} \frac{\vartheta_4^2 \vartheta_1(2t) \vartheta_4(2t)}{\vartheta_2 \vartheta_3 \vartheta_3^2(2t)},$$

$$\frac{dW}{dt} = M \frac{(\vartheta_3(2t) \vartheta_2 + \vartheta_2(2t) \vartheta_3) F_2(t)}{\vartheta_1(t) \vartheta_2(t) \vartheta_3(t) \vartheta_4(t)}, \quad M = -\frac{\vartheta_2 \vartheta_3 \vartheta_4^2}{\pi F_2(0)},$$

$$F_2(t) = \left( \frac{\vartheta_3(2t) \vartheta_3 - \vartheta_2(2t) \vartheta_2}{\vartheta_3(2t) \vartheta_2(2ci) + \vartheta_2(2t) \vartheta_3(2ci)} \right)^{0.5}. \quad (13)$$

Используя формулы (10), (13) и равенство  $Q = V_1 h = V_1 a^{-1}(b+1)^{-1}$ , граничное условие (12) представим в виде

$$e^{-r(\xi)} = C \frac{V_1}{V_0} \left( \frac{b + \cos \theta_g(\xi)}{b+1} \right) \left| F_3(\xi) \right|, \quad (14)$$

$$F_3(\xi) = \frac{\vartheta_2^2(\xi) \vartheta_3^2(\xi) F_1(\xi)}{(\vartheta_3(2\xi) \vartheta_2 + \vartheta_2(2\xi) \vartheta_3) F_2(\xi)},$$

$$C_1 = \frac{2}{\vartheta_2 \vartheta_3} \left| \frac{F_2(0)}{F_1(0)} \right|.$$

В точке  $B$  перехода свободной границы  $AB$  на полу бесконечную прямую  $BC$ , выполняется условие Бриллюэна-Вилла [3]. Кривизна свободной границы  $AB$  в точке  $B$  конечна и совпадает с кривизной стенки  $BC$ , т.е. в данной задаче равна нулю. Условие в точке  $B$  можно представить в виде равенства [3, 7]

$$d\theta_g/d\xi = 0 \quad \text{при} \quad \xi = \pi/2. \quad (15)$$

Представим функцию  $\chi(t)$  в виде суммы [3]

$$\chi(t) = \chi_0(t) + \omega(t). \quad (16)$$

где  $\chi_0(t) = r_0 + i\theta_0$  - функция Жуковского для течения жидкости по заданной схеме при условии, что на границе  $AB$  модуль скорости постоянный и равен  $V_*$ ;  $\omega(t)$  - функция, аналитическая в области  $G_t$  и непрерывная в  $\bar{G}_t = G_t \cup \partial G$ .

Граничные условия для функции  $\chi_0(t)$  имеют вид

$$\operatorname{Im} \chi_0(i\delta) = 0, \quad \operatorname{Im} \chi_0(\pi/2 + i\delta) = \pi/2, \quad \delta \in [0, \pi|\tau|/4],$$

$$\operatorname{Re} \chi_0(\xi) = r_*, \quad \operatorname{Re} \chi_0(\xi + \pi\tau/4) = 0, \quad \xi \in [0, \pi/2].$$

где  $r_* = \ln(V_0/V_*)$ . В плоскости изменения функции  $\chi_0$  области течения соответствует прямоугольник (рис. 6).

Конформное отображение области  $G_t$  (рис. 2) на область изменения функции  $\chi_0$  (рис. 6) задаётся формулой

$$\chi_0(t) = it + r_*, \quad r_* = \pi|\tau|/4. \quad (17)$$

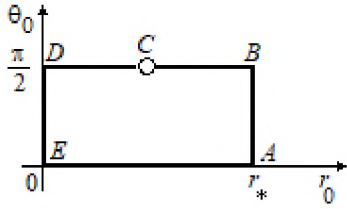


Рис. 6. Плоскость  $\chi_0$

Из сравнения граничных условий функций  $\chi(t)$  и  $\chi_0(t)$  для функции  $\omega(t)$  получим нелинейную краевую задачу

$$\text{Im } \omega(i\delta) = 0, \text{Im } \omega\left(\frac{\pi}{2} + i\delta\right) = 0, \delta \in \left[0, \frac{\pi|\tau|}{4}\right], \quad (18)$$

$$\text{Re } \omega(\xi + \pi\tau/4) = 0, \xi \in [0, \pi/2], \quad (19)$$

$$e^{-v-r_*} = C_1 \frac{V_1}{V_0} \left( \frac{b + \cos(T + \mu)}{b + 1} \right) \Big|_{F_3(\xi)}, \quad (20)$$

$$T = \theta_0(\xi), \mu = \text{Im } \omega(\xi), v = \text{Re } \omega(\xi), \xi \in [0, \pi/2].$$

Таким образом, задача свелась к определению функции  $\omega(t)$ , удовлетворяющей граничным условиям (18) - (20).

Для практической реализации предложенного метода неизвестную функцию  $\omega(t)$  разложим в ряд [11]. С помощью функции

$$p = \exp(\tau_1 + 2ti), \tau_1 = \pi|\tau|/2$$

отобразим область  $G_t$  на полукольцо  $G_p (1 < |p| < \exp(\tau_1), \text{Im } p > 0)$  (рис. 7) в плоскости комплексной переменной  $p = p_1 + ip_2$ .

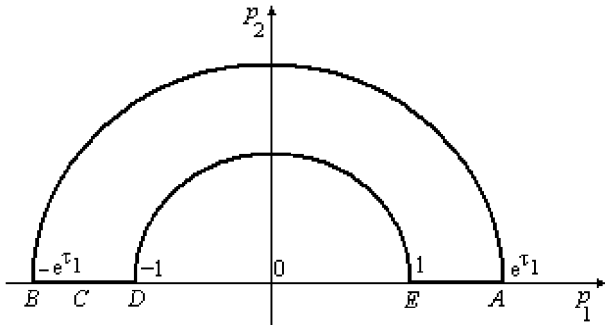


Рис. 7.

Из условий (18) следует, что

$$\text{Im } \omega(p) = 0, p = p_1 \in [-\exp(\tau_1), -1] \cup [1, \exp(\tau_1)].$$

Функцию  $\omega(p)$  можно аналитически продолжить на все кольцо  $1 \leq |p| \leq \exp(\tau_1)$  и представить её в виде ряда Лорана [10] с вещественными коэффициентами

$$\omega(p) = \sum_{k=-\infty}^{\infty} c_k p^k, \omega(t) = \sum_{k=-\infty}^{\infty} c_k \exp(\tau_1 + 2ti)k.$$

Из условия (19) следует (всюду далее суммирование ведётся от  $k = 1$  до  $k = \infty$ )

$$\text{Re } \omega(\xi + \pi\tau/4) = c_0 + \sum (c_{-k} + c_k) \cos 2\xi k = 0,$$

$$c_0 = 0, c_{-k} = -c_k.$$

Окончательно, для функции  $\omega(t)$  получим следующее представление

$$\omega(t) = 2 \sum c_k \text{sh}(\tau_1 + 2ti)k. \quad (21)$$

Условие (20) с учётом формулы (17) и разложения (21) имеет вид

$$C_1 \frac{V_1}{V_0} \left( \frac{b + \cos(\xi + 2s_1(\xi))}{(b+1) \exp(-(2s_2(\xi) + r_*))} \right) \Big|_{F_3(\xi)} = 1, \quad (22)$$

$$s_1(\xi) = \sum c_k \text{ch}(\tau_1 k) \sin(2\xi k),$$

$$s_2(\xi) = -\sum c_k \text{sh}(\tau_1 k) \cos(2\xi k).$$

Отсюда при  $\xi = 0$  получается

$$V_1/V_0 = \exp(-(2s_2(0) + r_*)). \quad (23)$$

Подставив выражение (23) в формулу (22), получим

$$C_1 \left( \frac{b + \cos(\xi + 2s_1(\xi))}{(b+1) \exp(-(2(s_2(\xi) - s_2(0))))} \right) \Big|_{F_3(\xi)} = 1. \quad (24)$$

Условие (15) с учётом формул (16), (17) и (21) представим в виде

$$1 + 4 \sum_{k=1}^{\infty} c_k k (-1)^k \text{ch}(\tau_1 k) = 0. \quad (25)$$

Используя формулы (9), (10), (16), (17) найдём параметрическую зависимость

$$\frac{dz}{dt} = P \frac{V_1}{V_0} \frac{\vartheta_2(t) \vartheta_3(t)}{\vartheta_1(t) \vartheta_4(t)} F_1(t) \exp(it + \omega(t)). \quad (26)$$

$$P = \frac{2\vartheta_4^2 h}{\pi} \exp\left(\frac{\pi|\tau|}{4}\right)$$

Интегрированием выражения (26) по полуокружности бесконечно малого радиуса с центром в точке  $C (t = \pi/2 + ic)$ , найдём величину межэлектродного расстояния  $h_2$  между линиями  $BC$  и  $CD$

$$h_2 = \frac{V_1}{V_0} \frac{2h}{\vartheta_2 \vartheta_3} \exp\left(\frac{\pi|\tau|}{4} - c\right) \cdot R \cdot T \cdot K, \quad (27)$$

$$R = \frac{\vartheta_1(ic) \vartheta_4(ic)}{\vartheta_2(ic) \vartheta_3(ic) \vartheta_1(2ci)}, \quad (28)$$

$$T = \frac{\vartheta_1(ic + \tau_1)\vartheta_1(ic - \tau_1)\vartheta_2(ic + \tau_1)\vartheta_2(ic - \tau_1)}{\vartheta_4(2ci)},$$

$$K = \exp\left(2\sum c_k (-1)^k \operatorname{sh}\left(\frac{\pi|\tau|}{2} - 2c\right)k\right).$$

Используя формулу удвоения [9]

$$\vartheta_1(2y)\vartheta_2\vartheta_3\vartheta_4 = 2\vartheta_1(y)\vartheta_2(y)\vartheta_3(y)\vartheta_4(y)$$

выражение (28) представим в виде

$$R = \frac{\vartheta_2\vartheta_3\vartheta_4}{2\vartheta_2^2(ic)\vartheta_3^2(ic)}. \quad (29)$$

Подставляя формулу (29) в соотношение (27), получим

$$\frac{h_2}{h} = \frac{V_1}{V_0} \exp\left(\frac{\pi|\tau|}{4} - c\right) \frac{\vartheta_4}{\vartheta_2^2(ic)\vartheta_3^2(ic)} \cdot T \cdot K.$$

Используя условие постоянства расхода в потоке, найдём

$$\frac{V_2}{V_0} = \frac{\vartheta_2^2(ic)\vartheta_3^2(ic)}{\vartheta_4 \cdot T \cdot R} \exp\left(c - \frac{\pi|\tau|}{4}\right),$$

где  $V_2$  - значение скорости течения на выходе из межэлектродного канала в окрестности бесконечно удалённой точки  $C$ .

Для численного решения задачи задаются физические параметры  $a_0, a_1, j_0$  и математический параметр  $c$ .

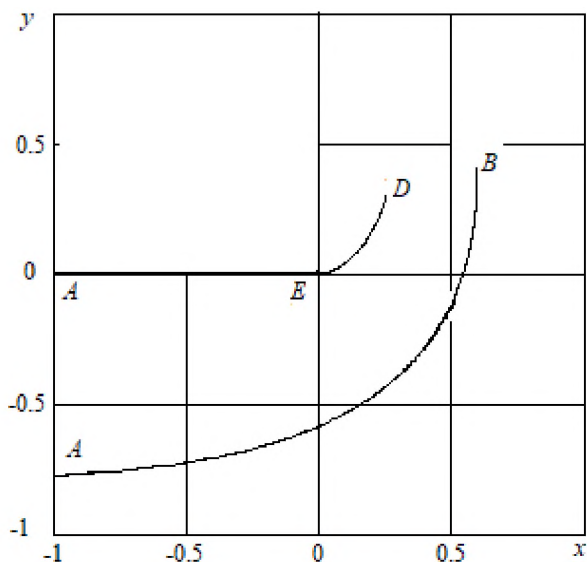


Рис. 8. Результаты расчёта

Коэффициенты разложений (21) определяются таким образом, чтобы на искомой анодной границе удовлетворялось условие (22). Система уравнений для вычисления коэффициентов разложения (21) решается методом Ньютона совместно с уравнением (25), предназначенным для определения  $|\tau|$ .

Результаты расчёта анодной границы и границы спрофилированного участка катода для частного случая представлены на рис. 8.

### Список используемых источников

1. Высокоскоростное электрохимическое формообразование / А.Д. Давыдов, Е. Козак. - М.: Наука, 1990. - 272с.
2. Основы теории и практики электрохимической обработки металлов и сплавов / М.В. Щербак, М.А. Толстая, А.П. Анисимов, В.Х. Постановов. - М.: Машиностроение, 1981. - 263с.
3. Теория струй идеальной жидкости / М.И. Гуревич. - М.: Наука, 1979. - 536с.
4. Импульсная электрохимическая размерная обработка / В.П. Житников, А.Н. Зайцев. - М.: Машиностроение, 2008. - 413с.
5. Моделирование процесса электрохимической обработки металла для технологической подготовки производства на станках с ЧПУ / Л.М. Котляр, Н.М. Миназетдинов. - М.: Academia, 2005. - 200с.
6. Minazetdinov N. M. Cavitation flow of an ideal incompressible fluid in the electrochemical machining of metals // Journal of applied mathematics and mechanics. 2017. Т. 81. № 1. Р. 29-35.
7. Minazetdinov N. M. One problem of the theory of dimensional electrochemical machining of metals // Journal of applied mechanics and technical physics. 2009. Vol. 50. № 3. Р. 540-545.
8. Электрохимическое формообразование / В.В. Клоков. Казань: Изд-во Казан. ун-та, 1984. -80с.
9. Курс современного анализа Т.2. Трансцендентные функции / Э.Т. Уиттекер, Дж. Н. М. Ватсон: - Физматгиз, 1963. - 515 с.
10. Методы теории функций комплексного переменного / М.А. Лаврентьев., Б.В. Шабат.- М.: Наука, 1987. - 688 с.
11. Нелинейные задачи теории струйных течений тяжёлой жидкости / О.М. Киселёв, Л.М. Котляр. - Казань: Изд-во Казан. ун-та, 1978. -156с.